

Санкт-Петербургский политехнический университет Петра Великого
Физико-механический институт
Высшая школа прикладной математики и вычислительной физики

Курс лекций «Модели молекулярного и турбулентного переноса.
Полуэмпирические модели турбулентности»
(http://cfd.spbstu.ru/agarbaruk/lecture/RANS_models)

Лекция 10

Дифференциальные модели рейнольдсовых напряжений

Гарбарук Андрей Викторович (agarbaruk@mail.ru)
2023

Гипотеза Буссинеска

- Буссинеск (1877) предложил ввести дополнительную (турбулентную) вязкость
- Большинство моделей турбулентности используют обобщенную гипотезу Буссинеска

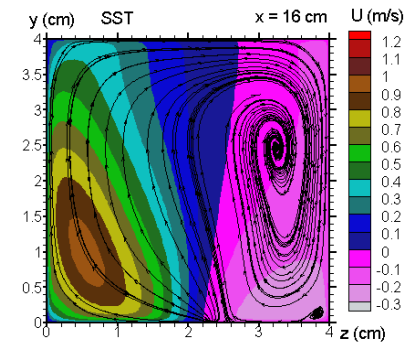
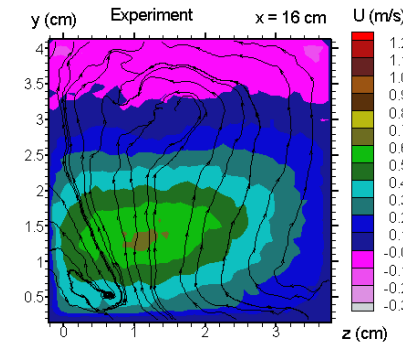
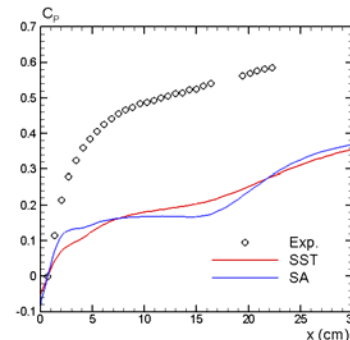
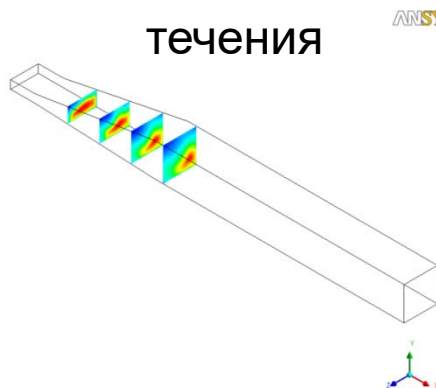
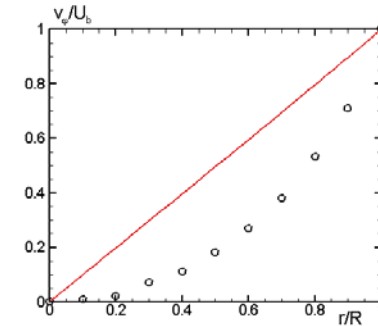
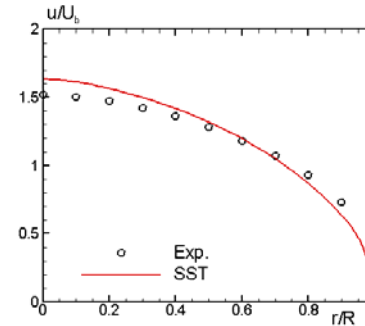
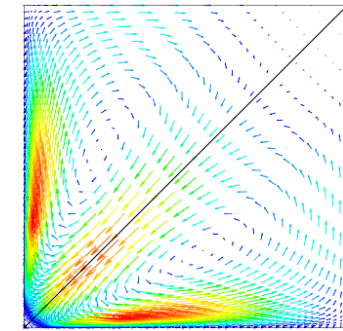
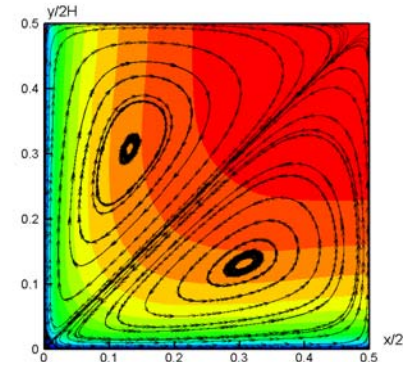
$$-\overline{u'_i u'_j} = \nu_T \left(\frac{\partial u_i}{\partial x_j} + \frac{\partial u_j}{\partial x_i} \right) - \frac{2}{3} k \delta_{ij} = 2\nu_T \cdot S_{ij} - \frac{2}{3} k \delta_{ij}$$

- Линейная связь между тензором рейнольдсовых напряжений и тензором скоростей деформаций
 - Аналог реологического закона Ньютона для молекулярной вязкости
- Достоинства
 - Использование гипотезы Буссинеска позволяет сократить количество определяемых в процессе моделирования переменных с 6 до 1.
 - Недостатки
 - В некоторых случаях гипотеза Буссинеска несправедлива и ее использование приводит к получению качественно неверного результата

В таких случаях необходимо использование моделей рейнольдсовых напряжений или нелинейных моделей

Примеры: внутренние течения

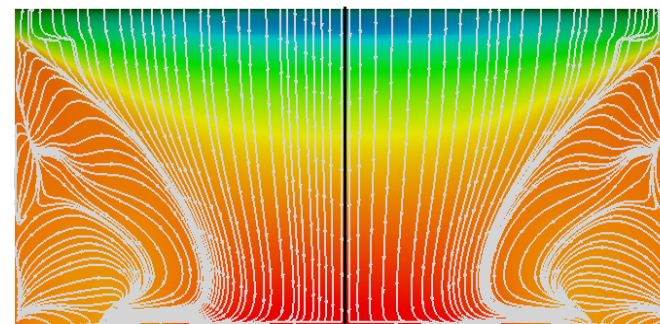
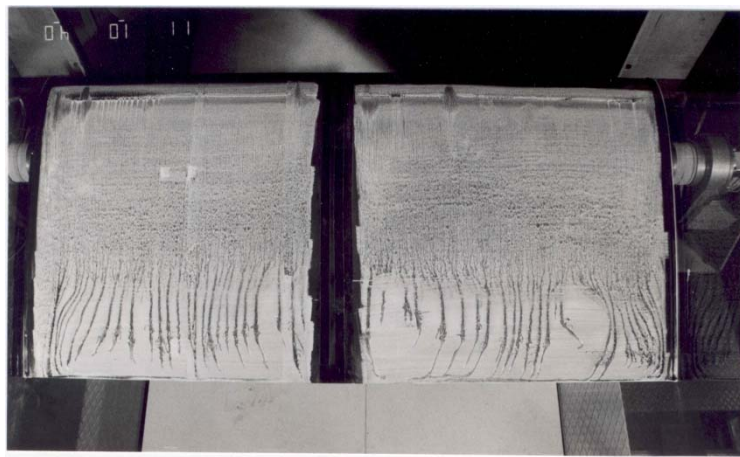
- Установившееся течение в трубе квадратного сечения
 - Линейные модели неспособны предсказать вторичные токи
- Установившееся течение в вращающейся круглой трубе
 - Линейные модели предсказывают линейный профиль тангенциальной скорости
- Течение в диффузоре
 - Качественно неправильная картина течения



Изолинии продольной компоненты скорости в эксперименте и расчете

Примеры: угловой отрыв на крыле

- Линейные модели существенно завышают угловой отрыв
 - Обтекание крылового профиля в аэродинамической трубе



- Сочленение крыла с фюзеляжем



Поверхностные линии тока в эксперименте и расчете

Классификация моделей рейнольдсовых напряжений

- Дифференциальные модели рейнольдсовых напряжений (DRSM)
 - Для каждой из 6 независимых компонент тензора рейнольдсовых напряжений решается дифференциальное уравнение
 - Для замыкания этой системы необходимо добавить еще одно уравнение
 - ✓ для ε или ω
- Алгебраические модели рейнольдсовых напряжений (ARSM).
 - Алгебраические связи между рейнольдсовыми напряжениями и осредненными параметрами потока.
 - Необходимо получить масштабы турбулентности
 - ✓ База модели: два дифференциальных уравнения (k - ε или k - ω)
- Явные алгебраические модели рейнольдсовых напряжений (EARSM).
 - Алгебраические связи разрешаются относительно рейнольдсовых напряжений.
 - ✓ Для связи между тензором рейнольдсовых напряжений и тензором скоростей деформаций используются нелинейные соотношения.
 - ✓ Эти модели часто называют нелинейными моделями (NLM).

Дифференциальные модели рейнольдсовых напряжений

- Первая модель была предложена Ротта (1951)
 - Не инструмент расчета, а теоретическое исследование
- Launder B.E., Reece G.J., Rodi W. (1975)
 - Первая по настоящему работоспособная модель
 - Были изложены основные идеи построения дифференциальных моделей рейнольдсовых напряжений
 - Была предложена наиболее часто используемая модель (LLR)
 - ✓ Основа для разработки алгебраических моделей (в том числе явных)
- Были разработаны десятки моделей
 - GL (Гибсон, Лаундер)
 - SSG (Специале, Саркар, Гатски)

Уравнения для рейнольдсовых напряжений (вторых одноточечных моментов)

- Эти уравнения могут быть получены из уравнений Навье-Стокса с использованием процедуры осреднения по Рейнольдсу
- Будем рассматривать уравнения для несжимаемой жидкости

$$\frac{\partial}{\partial t} \overline{u'_i u'_j} + U_k \frac{\partial}{\partial x_k} \overline{u'_i u'_j} = \frac{\partial}{\partial x_k} D_{ijk} + P_{ij} + \Phi_{ij} - \varepsilon_{ij}$$

➤ **Диффузия** $D_{ijk} = \nu \frac{\partial}{\partial x_k} \overline{u'_i u'_j} - \overline{u'_i u'_j u'_k} - \frac{1}{\rho} (\delta_{ik} \overline{u'_j p'} + \delta_{jk} \overline{u'_i p'})$

- ✓ Молекулярный и турбулентный диффузионный перенос

➤ **Генерация** $P_{ij} = -\overline{u'_i u'_k} \frac{\partial U_j}{\partial x_k} - \overline{u'_j u'_k} \frac{\partial U_i}{\partial x_k}$

- ✓ Получение энергии от осредненного течения

➤ **Корреляция давление-скорость деформации** $\Phi_{ij} = \frac{p'}{\rho} \left(\frac{\partial u'_j}{\partial x_i} + \frac{\partial u'_i}{\partial x_j} \right)$

- ✓ Перераспределение энергии между компонентами тензора

➤ **Диссипация** $\varepsilon_{ij} = 2\nu \frac{\partial u'_i}{\partial x_k} \frac{\partial u'_j}{\partial x_k}$

- ✓ Передача энергии в тепло за счет вязких сил

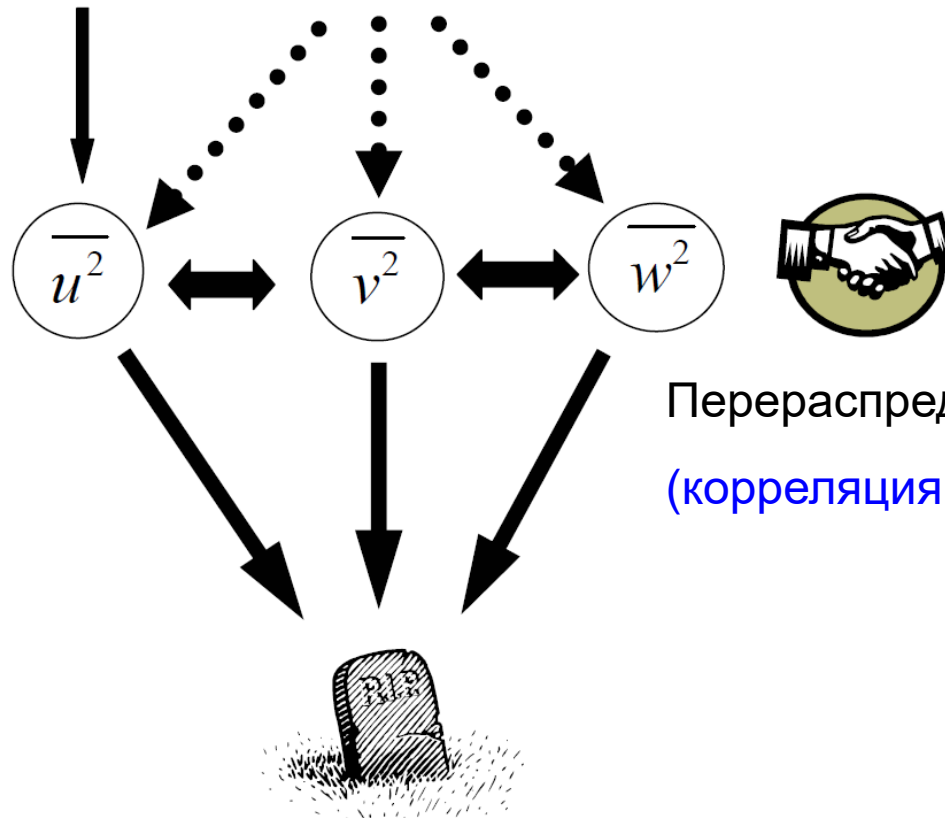
- Для замыкания системы уравнений необходимо промоделировать **турбулентную диффузию**, **корреляцию давление – скорость деформации** и **диссипацию**

Уравнения для рейнольдсовых напряжений

Генерация



Конвекция и диффузия основным потоком



Перераспределение пульсациями давления
(корреляция давление-скорость деформации)

Диссипация в тепло за счет вязкости

Некоторые следствия тензорного анализа (I)

- Рассмотрим два тензора второго ранга в трехмерном пространстве \mathbf{A} и \mathbf{B}
 - Пусть $\mathbf{B} = f(\mathbf{A})$

- Разложим функцию f в ряд Тейлора.

$$\mathbf{B} = a_0 \mathbf{I} + a_1 \mathbf{A} + a_2 \mathbf{A}^2 + \dots \quad (1)$$

- Для тензоров выполняется теорема Гамильтона-Кэли

- Тензор является корнем своего характеристического уравнения

$$\mathbf{A}^3 - b_2 \mathbf{A}^2 + b_1 \mathbf{A} - b_0 \mathbf{I} = 0 \quad (2)$$

- ✓ Коэффициенты b_i являются инвариантами тензора \mathbf{A}

- Подставив (2) в (1) можно получить

$$\mathbf{B} = c_0 \mathbf{I} + c_1 \mathbf{A} + c_2 \mathbf{A}^2$$

- Коэффициенты c_i зависят от инвариантов тензора \mathbf{A}

- ✓ $\{\mathbf{A}\}, \{\mathbf{A}^2\}, \{\mathbf{A}^3\}$

Некоторые следствия тензорного анализа (II)

- Коэффициент c_0 можно исключить записав зависимость $\mathbf{B} = c_0 \mathbf{I} + c_1 \mathbf{A} + c_2 \mathbf{A}^2$

в бездивергентной форме

$$\left(\mathbf{B} - \frac{1}{3} \{\mathbf{B}\} \mathbf{I} \right) = c_1 \left(\mathbf{A} - \frac{1}{3} \{\mathbf{A}\} \mathbf{I} \right) + c_2 \left(\mathbf{A}^2 - \frac{1}{3} \{\mathbf{A}^2\} \mathbf{I} \right)$$

➤ Слагаемые в скобках в правой части называют тензорными группами

- Если оба тензора \mathbf{A} и \mathbf{B} имеют нулевой след, то

$$\mathbf{B} = c_1 \mathbf{A} + c_2 \left(\mathbf{A}^2 - \frac{1}{3} \{\mathbf{A}^2\} \mathbf{I} \right)$$

➤ Модель для диссипации

➤ Модель для быстрого слагаемого

- Подобные рассуждения можно провести для функции нескольких переменных и определить общий вид функциональной зависимости

➤ В этом случае будет больше тензорных групп

✓ Модель для медленного слагаемого

✓ Явные алгебраические модели реynoльдсовых напряжений

Тензор анизотропии

- При создании моделей рейнольдсовых напряжений часто используется тензор анизотропии

$$a_{ij} = \frac{\overline{u'_i u'_j}}{k} - \frac{2}{3} \delta_{ij}$$

- Этот тензор является
 - ✓ безразмерным
 - ✓ симметричным
 - ✓ девиаторным (след равен 0)
- В некоторых работах используют величину $b_{ij} = \frac{1}{2} a_{ij}$

- Часто используются инварианты этого тензора (треугольник Ламли)

- $A_2 = a_{ij} a_{ji} = \{\mathbf{A}^2\}$
- $A_3 = a_{ij} a_{jk} a_{ki} = \{\mathbf{A}^3\}$

- Комбинация $A = 1 - \frac{9}{8}(A_2 - A_3)$ является структурной характеристикой турбулентности

- $A=1$ соответствует изотропной турбулентности
- $A=0$ соответствует двумерной турбулентности
 - ✓ Например: слой смешения

Турбулентная диффузия

$$D_{ijk}^T = -\overline{u'_i u'_j u'_k} - \frac{1}{\rho} (\delta_{ik} \overline{u'_j p'} + \delta_{jk} \overline{u'_i p'})$$

- Основной вклад вносит тройная корреляция скорости
- Launder B.E., Reece G.J., Rodi W. (1975)
 - В простых случаях между разными подходами почти нет разницы
 - Моделирование диффузии слабо влияет на результат
- Простейшие модели основаны на гипотезе градиентной диффузии

- Изотропная диффузия $D_{ijk} = \frac{2}{3} C_s \frac{k^2}{\varepsilon} \frac{\partial \overline{u'_i u'_j}}{\partial x_k}, C_s = 0.22$

- Анизотропная диффузия $D_{ijk} = C_s \frac{k}{\varepsilon} \overline{u'_k u'_l} \frac{\partial \overline{u'_i u'_j}}{\partial x_l}, C_s = 0.22$

✓ Нет симметричности относительно перестановки индексов i, j, k

- Модели с симметрией индексов

- Изотропная диффузия $D_{ijk}^t = C'_s \frac{k^2}{\varepsilon} \left(\frac{\partial \overline{u'_j u'_k}}{\partial x_i} + \frac{\partial \overline{u'_k u'_i}}{\partial x_j} + \frac{\partial \overline{u'_i u'_j}}{\partial x_k} \right)$

- Анизотропная диффузия $D_{ijk}^t = C_s \frac{k}{\varepsilon} \left(\overline{u'_k u'_l} \frac{\partial \overline{u'_i u'_j}}{\partial x_l} + \overline{u'_i u'_l} \frac{\partial \overline{u'_k u'_j}}{\partial x_l} + \overline{u'_j u'_l} \frac{\partial \overline{u'_i u'_k}}{\partial x_l} \right)$

- Последние исследования показали, что более сложные модели могут приводить к неустойчивости

Диссипация

- Наиболее простым является предположение о локальной изотропности диссипации

$$\varepsilon_{ij} = \frac{2}{3} \delta_{ij} \varepsilon$$

- Справедливо в высокорейнольдсовом приближении (вдали от стенок)
- При его использовании предполагается моделирование неизотропной части вместе с корреляцией давление-скорость деформации

$$\Phi_{ij}^{\varepsilon} = \Phi_{ij} - \varepsilon_{ij} + \frac{2}{3} \delta_{ij} \varepsilon$$

- Другим предельным случаем является предположение о пропорциональности диссипации соответствующему напряжению

$$\varepsilon_{ij} = \frac{\varepsilon}{k} \overline{u'_i u'_j}$$

- Справедливо в окрестности стенок
- Более точное выражение (Лаундер, Рейнольдс) получено при помощи асимптотического разложения скорости в ряд в окрестности стенки

$$\varepsilon_{ij} = \frac{\varepsilon}{k} \left[\overline{u'_i u'_j} + \alpha (\overline{u'_i u'_k n_k n_j} + \overline{u'_j u'_k n_k n_i}) + \beta \overline{u'_k u'_l n_k n_l} \delta_{ij} \right], \alpha = 1, \beta = 1$$

Диссипация

- Общую теория построения алгебраических моделей диссипации была разработана Hallback, Groth и Johansson на основе тензорного анализа

$$\varepsilon_{ij} = \frac{2}{3} \delta_{ij} \varepsilon + \varepsilon \left[\left(1 + \alpha \left(\frac{1}{2} A_2 - \frac{2}{3} \right) \right) a_{ij} - \alpha \left(a_{ik} a_{kj} - \frac{1}{3} A_2 \delta_{ij} \right) \right]$$

- Константа $\alpha=0.75$ была подобрана на основе задачи об однородной изотропной турбулентности, подверженной внезапному сдвигу
- Наиболее сложные модели включают взвеси разных подходов
 - Например: Hanjalic, 1996

$$\varepsilon_{ij} = (1 - f_s) \frac{2}{3} \delta_{ij} \varepsilon + f_s \varepsilon_{ij}^*, \quad \varepsilon_{ij}^* = \frac{\varepsilon}{k} \frac{\left[\overline{u'_i u'_j} + \left(\overline{u'_i u'_k n_k n_j} + \overline{u'_j u'_k n_k n_i} + \overline{u'_k u'_l n_k n_l} \delta_{ij} \right) f_d \right]}{1 + \frac{3}{2} \overline{n_m n_n} f_d \overline{u'_m u'_n} / k}$$

- ✓ f_d и f_s – функции, зависящие от расстояния до стенки

$$f_d = (1 + 0.1 \text{Re}_t)^{-1}; \quad f_s = 1 - \sqrt{AE^2},$$

- ✓ $\text{Re}_t = k^2 / (v\varepsilon)$ - турбулентное число Рейнольдса, n_i – орт соответствующей оси, а A и E – инварианты тензоров анизотропии a_{ij} и диссипации ε_{ij} соответственно

Корреляция давление – скорость деформации

- Наиболее сложна для моделирования.
 - Чрезвычайно сильно влияет на результат
- При использовании изотропной диссипации моделируется

$$\Phi_{ij}^\varepsilon = \Phi_{ij} - \varepsilon_{ij} + \frac{2}{3} \delta_{ij} \varepsilon$$
- В основе всех моделей лежит работа Chou (1945)
 - Уравнение Пуассона для пульсаций давления
 - ✓ Дивергенция уравнения для пульсационной составляющей скорости
 - Корреляция давление-скорость деформации может быть выражена в следующем виде

$$\frac{p'}{\rho} \frac{\partial u'_i}{\partial x_j} = \frac{1}{\pi} \int_{vol} \left\{ \left(\frac{\partial^2 u'_l u'_m}{\partial x_l \partial x_m} \right)_Y \left(\frac{\partial u'_i}{\partial x_j} \right)_X + 2 \left(\frac{\partial U_l}{\partial x_m} \right)_X \left(\frac{\partial u'_m}{\partial x_l} \right)_Y \left(\frac{\partial u'_i}{\partial x_j} \right)_X \right\} \frac{dvol}{|\mathbf{x} - \mathbf{y}|} + S_{ij}$$

- ✓ S_{ij} - интеграл по поверхности (пренебрежимо мал вдали от твердой границы)

- Корреляцию можно разделить на два слагаемых

$$\Phi_{ij} = \varepsilon \cdot A_{ij}(\mathbf{a}) + k M_{ijkl}(\mathbf{a}) \frac{\partial U_k}{\partial x_l} = \Phi_{ij,1} + \Phi_{ij,2}$$

- Не зависит от производной средней скорости
 - ✓ «Медленное» слагаемое (slow, слагаемое Ротта)
- Зависит от производной средней скорости
 - ✓ «Быстрое» слагаемое, (rapid)

Общий вид корреляции давление – скорость деформации из тензорного анализа

- «Медленное» слагаемое зависит только от тензора анизотропии

➤ Модель для «медленного» слагаемого

$$\Phi_{ij,1} = -\varepsilon \left(C_1 a_{ij} + C_2 \left(a_{ik} a_{kj} - \frac{1}{3} A_2 \delta_{ij} \right) \right)$$

- ✓ Линейная модель: $C_2=0$, $C_1=\text{const}$
- ✓ Квазилинейная модель: $C_2=0$, $C_1 \neq \text{const}$

- «Быстрое» слагаемое зависит от производной скорости и тензора анизотропии

➤ Предположим линейную зависимость «быстрого» слагаемого от производной скорости

- ✓ Получим следующую общую модель для быстрого слагаемого

$$\begin{aligned} \Phi_{ij,2} = & kS_{kl} \left[Q_1 \cdot \delta_{ik} \delta_{jl} + Q_2 (a_{ik} \delta_{jl} + a_{jk} \delta_{il} - \frac{2}{3} a_{kl} \delta_{ij}) + Q_3 \cdot a_{kl} a_{ij} \right] + \\ & + kS_{kl} \left[Q_4 (a_{ik} a_{jl} - \frac{1}{3} a_{km} a_{ml} \delta_{ij}) + (Q_5 \cdot a_{kl} + Q_6 \cdot a_{km} a_{ml}) (a_{in} a_{nj} - \frac{1}{3} A_2 \delta_{ij}) \right] + \\ & + k\Omega_{kl} \left[Q_7 (a_{ik} \delta_{jl} + a_{jk} \delta_{il}) + Q_8 \cdot a_{km} (a_{jm} \delta_{il} + a_{im} \delta_{jl}) + Q_9 \cdot a_{km} (a_{jm} a_{il} + a_{im} a_{jl}) \right] \end{aligned}$$

«Быстрое» слагаемое

- Различные модели в основном различаются моделированием этого слагаемого

➤ При использовании изотропной диссипации считают, что строится модель для $\Phi_{ij,2}^\varepsilon = \Phi_{ij,2} - \varepsilon_{ij} + \frac{2}{3} \delta_{ij} \varepsilon$

- Наиболее простой является упрощенная модель LRR

$$\Phi_{ij,2} = -\gamma \left(P_{ij} - \frac{2}{3} P_k \delta_{ij} \right), \gamma = 0.6 \quad P_{ij} = -\overline{u'_i u'_k} \frac{\partial U_j}{\partial x_k} - \overline{u'_j u'_k} \frac{\partial U_i}{\partial x_k} \quad P_k = -\overline{u'_i u'_j} \frac{\partial U_i}{\partial x_j}$$

- На основе кинематических ограничений и предположения о линейности тензора $\Phi_{ij,2}$ относительно тензора анизотропии LRR была предложена модель

$$\Phi_{ij,2} = -\frac{c_2 + 8}{11} \left(P_{ij} - \frac{2}{3} P_k \delta_{ij} \right) - \frac{30c_2 - 2}{55} 2kS_{ij} - \frac{8c_2 - 2}{11} \left(Q_{ij} - \frac{2}{3} P_k \delta_{ij} \right), c_2 = 0.4$$

$$Q_{ij} = -\overline{u'_i u'_k} \frac{\partial U_k}{\partial x_j} - \overline{u'_j u'_k} \frac{\partial U_k}{\partial x_i}$$

➤ Эта модель легла в основу нескольких алгебраических моделей

Учет влияния стенки

- Задача построения слагаемых, учитывающих влияние стенки, оказывается еще более сложной

$$\Phi_{ij} = \Phi_{ij,1} + \Phi_{ij,2} + \Phi_{ij,1}^w + \Phi_{ij,2}^w$$

- Необходимо построить «маркер», определяющий попадание точки внутрь пограничного слоя

➤ Часто используют величину $f(l/x_n) = \frac{k^{1.5}}{2.5\varepsilon x_n}$

- Легко показать, что в логарифмической области эта величина равна 1

$$k = \frac{u_\tau^2}{C_\mu^{0.5}} \quad \varepsilon = \frac{u_\tau^3}{\kappa x_n} \quad \longrightarrow \quad f(l/x_n) = \frac{k^{1.5}}{2.5\varepsilon x_n} = \frac{1}{2.5x_n} \frac{u_\tau^3}{C_\mu^{3/4}} \frac{\kappa x_n}{u_\tau^3} = \frac{\kappa}{2.5C_\mu^{3/4}} \approx 1$$

- Например: типичные слагаемые для учета влияния стенки

$$\Phi_{ij,1}^w = C_1^w \frac{\varepsilon}{k} (\overline{u'_k u'_m} n_k n_m \delta_{ij} - 1.5 \overline{u'_k u'_i} n_k n_j - 1.5 \overline{u'_k u'_j} n_k n_i) f(l/x_n)$$

$$\Phi_{ij,2}^w = C_2^w (\Phi_{km,2} n_k n_m \delta_{ij} - 1.5 \Phi_{ki,2} n_k n_j - 1.5 \Phi_{kj,2} n_k n_i) f(l/x_n)$$

Уравнение для изотропной диссипации

- Для замыкания уравнений необходимо определить изотропную диссипацию ε
 - Необходимо дополнительное дифференциальное уравнение
 - ✓ Чаще всего традиционно используют уравнение для ε
 - ✓ Иногда используют уравнение для завихренности ω
- Модель рейнольдсовых напряжений «наследует» свойства базовой модели
 - Использование уравнения для ε приведет к существенным ошибкам в случае течений с положительным градиентом давления
 - ✓ Особенно существенно при расчета отрывных течений
 - ✓ В уравнение для ε вводятся специальные поправки

$$E = \max \left(\left[\left(\frac{\partial l}{\partial l_e} \right)^2 - 1 \right] \left(\frac{\partial l}{\partial l_e} \right)^2 A \frac{\varepsilon \tilde{\varepsilon}}{k}, 0 \right) \text{ или } E = \max \left(\left[\frac{l}{l_e} - 1 \right] \left(\frac{l}{l_e} \right)^2 A \frac{\tilde{\varepsilon}^2}{k}, 0 \right)$$

- Основаны на сопоставлении двух линейных масштабов, которые должны быть равны на логарифмическом участке профиля скорости: $l = k^{3/2} / \varepsilon$ и $l_e = C_\mu^{-3/4} k d_w$
- Предотвращают неавтомодельное поведение турбулентных характеристик (k и ε) на логарифмическом участке профиля скорости

Пример: модель LRR

Диффузия

$$D_{ijk} = C_s \frac{k}{\varepsilon} \left(\overline{u'_i u'_l} \frac{\partial \overline{u'_j u'_k}}{\partial x_l} + \overline{u'_j u'_l} \frac{\partial \overline{u'_k u'_i}}{\partial x_l} + \overline{u'_k u'_l} \frac{\partial \overline{u'_i u'_j}}{\partial x_l} \right)$$

Корреляция давление-скорость деформации

$$\Phi_{ij,1} = -C_1 \varepsilon a_{ij}$$

$$\Phi_{ij,2} = -\gamma \left(P_{ij} - \frac{2}{3} P_k \delta_{ij} \right), \gamma = 0.6 \quad \text{или}$$

$$\Phi_{ij,2} = -\frac{c_2 + 8}{11} \left(P_{ij} - \frac{2}{3} P_k \delta_{ij} \right) - \frac{30c_2 - 2}{55} 2kS_{ij} - \frac{8c_2 - 2}{11} \left(Q_{ij} - \frac{2}{3} P_k \delta_{ij} \right), c_2 = 0.4$$

$$Q_{ij} = -\overline{u'_i u'_k} \frac{\partial U_k}{\partial x_j} - \overline{u'_j u'_k} \frac{\partial U_k}{\partial x_i}$$

Диссипация

$$\varepsilon_{ij} = \frac{2}{3} \delta_{ij} \varepsilon$$

Уравнение для изотропной диссипации

$$\frac{\partial \varepsilon}{\partial t} + U_k \frac{\partial \varepsilon}{\partial x_k} = \frac{\partial}{\partial x_k} \left(\nu \frac{\partial \varepsilon}{\partial x_k} + C_\varepsilon \frac{k}{\varepsilon} \overline{u'_k u'_l} \frac{\partial \varepsilon}{\partial x_l} \right) + C_{\varepsilon 1} \frac{\varepsilon}{k} P_k - C_{\varepsilon 2} \frac{\varepsilon^2}{k}$$

Константы

$$C_s = 0.11; C_1 = 1.5; C_2 = 0.4; \gamma = 0.6; C_\varepsilon = 0.15; C_{\varepsilon 1} = 1.44; C_{\varepsilon 2} = 1.9$$

Пример: высорорейнольдсовая модель SSG

- Может использоваться только совместно с пристенными функциями

Диффузия

$$D_{ijk} = \frac{2}{3} C_s \frac{k^2}{\varepsilon} \overline{\frac{\partial \rho u_i u_j}{\partial x_k}}$$

Корреляция давление-скорость деформации

$$\Phi_{ij,1} = -\varepsilon \left[\left(C_{s1} + C_{r1} \frac{P}{\varepsilon} \right) a_{ij} + C_{s2} \left(a_{ik} a_{kj} - \frac{1}{3} A_2 \delta_{ij} \right) \right]$$

$$\Phi_{ij,2} = k \left[(C_{r2} - C_{r3} A_2) S_{ij} + C_{r4} (a_{ik} S_{kj} + S_{ik} a_{kj} - \frac{2}{3} a_{mn} S_{mn} \delta_{ij}) + C_{r5} (a_{ik} \Omega_{kj} + \Omega_{ik} a_{kj}) \right]$$

Диссипация

$$\varepsilon_{ij} = \frac{2}{3} \delta_{ij} \varepsilon$$

Уравнение для изотропной диссипации

$$\frac{\partial \varepsilon}{\partial t} + \frac{\partial (U_j \varepsilon)}{\partial x_j} = c_{\varepsilon 1} \frac{\varepsilon}{k} P_k - c_{\varepsilon 2} \frac{\varepsilon^2}{k} + \frac{\partial}{\partial x_j} \left(\frac{\nu_t}{\sigma_\varepsilon} \frac{\partial \varepsilon}{\partial x_j} \right) \quad \nu_t = C_\mu k^2 / \varepsilon$$

Константы модели:

$$C_{s1} = 1.7, C_{s2} = -1.05, C_{r1} = 0.9, C_{r2} = 0.8, C_{r3} = 0.65, C_{r4} = 0.625, C_{r5} = 0.2,$$

$$C_{\varepsilon 1} = 1.44, C_{\varepsilon 2} = 1.83, \sigma_\varepsilon = 1.3.$$

Пример: низкорейнольдсовая модель SSG

Корреляция давление-скорость деформации

$$\Phi_{ij,1} = -\varepsilon \left[C_1 \left\{ 1 - \left(1 - \frac{1}{C_1}\right) f_w \right\} a_{ij} + C_1' (1 - f_w) \left(a_{ik} a_{kj} - \frac{1}{3} A_2 \delta_{ij} \right) \right]$$

$$\Phi_{ij,2} = \varepsilon \left[C_{01} S_{ij} + C_{11} \left(a_{ik} S_{kj} + S_{ik} a_{kj} - \frac{2}{3} a_{nm} S_{nm} \delta_{ij} \right) + C_{12} (a_{ik} \Omega_{kj} + \Omega_{ik} a_{kj}) \right]$$

$$\Phi_{ij}^w = f_w \left[0.45 \left(P_{ij} - \frac{2}{3} P_k \delta_{ij} \right) - 0.03 \left(D_{ij} - \frac{2}{3} P_k \delta_{ij} \right) + 0.16 k S_{ij} \right] \quad f_w = \exp \left[- \left(0.0184 \sqrt{k} d_w / \nu \right)^4 \right]$$

Уравнение для изотропной диссипации

$$\frac{\partial \varepsilon}{\partial t} + \frac{\partial (U_k \varepsilon)}{\partial x_k} = \frac{\partial}{\partial x_k} \left(\nu \delta_{kl} + C_\varepsilon \frac{k}{\varepsilon} \overline{u_k u_l} \right) \frac{\partial \varepsilon}{\partial x_l} + [C_{\varepsilon 1} (1 + C_{\varepsilon 4} f_w) P_k - C_{\varepsilon 2} f_\varepsilon \varepsilon^*] \frac{\varepsilon}{k} + \xi$$

$$f_\varepsilon = 1 - \frac{2}{9} \exp[-(R_t / 6)^2] \quad \xi = [(-2 + \frac{7}{9} C_{\varepsilon 2}) \varepsilon - 0.5 \varepsilon^*] \cdot \varepsilon^* / k \cdot f_w \quad \varepsilon^* = \varepsilon - 2 \nu k / d_w^2$$

Константы модели:

$$C_1 = 1.7 + 0.9 P_k / \varepsilon \quad C_1' = -1.05 \quad C_{01} = 0.8 - 0.65 \sqrt{A_2}$$

$$C_{11} = 0.625, C_{12} = 0.2, C_\varepsilon = 0.15, C_{\varepsilon 1} = 1.35, C_{\varepsilon 2} = 1.8, C_{\varepsilon 4} = 1.0$$

- Низкорейнольдсовая версия модели гораздо сложнее высокорейнольдсовой
 - Больше проблем со сходимостью

Гибридная модель LRR/SSG

- Модель разрабатывалась в рамках проекта Flomania группой из DLR (Eisfeld)
- При ее разработке были использованы лучшие идеи
 - Использование замыкающего соотношения для изотропной диссипации ω
 - ✓ Включая cross-diffusion term
 - «Сшивка» разных моделей
 - ✓ Модель LRR была откалибрована для расчета свободных течений
 - ✓ Модель SSG создавалась для пристенных течений
 - ✓ Сшивающая функция заимствована из модели Ментера SST
- Модель была тщательно протестирована на широком круге течений
 - <http://turbmodels.larc.nasa.gov>
- Видимо, в настоящий момент это лучшая дифференциальная модель реинольдсовых напряжений

Недостатки моделей Рейнольдсовых напряжений

- Много дифференциальных уравнений
 - Не менее 7 уравнений для турбулентности
 - ✓ Требуется много вычислительных ресурсов.
 - В задачах теплопередачи еще 3 дополнительных уравнения для корреляций скорости и температуры
- Существенная нелинейность системы уравнений
 - Необходимо использовать специальные средства для улучшения устойчивости и сходимости
 - ✓ Векторные прогонки
 - ✓ Демпфирование
- Постановка граничных условий на свободных границах для напряжений
 - Нет физических оснований
- Модели рейнольдсовых напряжений калибровались и тестировались на простейших течениях несжимаемой жидкости
 - Для учета специальных эффектов (кривизна линий тока, сжимаемость и т.п.) необходимо введение специальных поправок
 - ✓ Их разработка для столь сложных моделей является крайне трудоемкой работой

Принцип реализуемости

- Полученное решение может быть неприемлемым с физической точки зрения
 - Нормальные напряжения должны быть неотрицательны в любой системе координат
 - Принцип реализуемости Ламли
 - ✓ Тензор рейнольдсовых напряжений должен удовлетворять соотношениям

$$\begin{cases} \overline{u_i'^2} \geq 0 \\ \overline{u_i'^2} \cdot \overline{u_j'^2} \geq (\overline{u_i' u_j'})^2 \\ \det \{ \overline{u_i' u_j'} \} \geq 0 \end{cases}$$

- В дифференциальных моделях рейнольдсовых напряжений невозможно априори гарантировать выполнение этого принципа
 - Необходимо проверять его в каждом конкретном случае
 - ✓ Отбраковка «дефектных» расчетов
 - Неприемлемо для «инженерного» использования
 - ✓ Введение коррекций «поверх» решения уравнений

Резюме

- В некоторых течениях невозможно получить правильное решение из-за недостатков гипотезы Буссинеска
- Привлекательным решением является построение модели на основе уравнений для напряжений Рейнольдса
- Для замыкания этих уравнений приходится привлекать множество дополнительных предположений
- Численное решение полученной системы – очень трудная задача
- Полученное решение может быть неприемлемым с физической точки зрения
- Дифференциальные модели турбулентности используются крайне редко